



## IMPIANTO AGRIVOLTAICO "PRANGILI"

COMUNE DI UTA

### PROPONENTE



Iberdrola Renovables Italia Spa

### IMPIANTO AGRIVOLTAICO PER LA PRODUZIONE DI ENERGIA DA FONTE SOLARE NEL COMUNE DI UTA

VALUTAZIONE DI IMPATTO AMBIENTALE - PROGETTO DEFINITIVO

OGGETTO: Relazione Idrogeologica

CODICE ELABORATO

PD-R03

### COORDINAMENTO



**BIA srl**  
P.IVA 03983480926  
cod. destinatario KRRH6B9  
+ 39 347 596 5654  
energhiabia@gmail.com  
energhiabia@pec.it  
piazza dell'Annunziata n. 7  
09123 Cagliari (CA) | Sardegna

### GRUPPO DI LAVORO S.I.A.

Dott.ssa Geol. Cosima Atzori  
Dott. Giulio Casu  
Dott. Archeol. Fabrizio Delussu  
Fad System Srl  
Dott.ssa Ing. Ilaria Giovagnorio  
Dott. Giorgio Lai  
Dott. Federico Loddo  
Dott. Giovanni Lovigu  
Dott. Ing Bruno Manca  
Dott. Nat. Maurizio Medda  
Dott. Agr. Nicola Manis  
Dott. Ing. Marco Murru  
Dott.ssa Geol. Consuelo Nicolò  
Dott.ssa Ing. Alessandra Scalas  
Dott.Nat. Fabio Schirru  
Federica Zaccheddu

### REDATTORE

Dott.ssa Geol. Cosima Atzori

00	febbraio 2024	Prima emissione
REV.	DATA	DESCRIZIONE REVISIONE

## INDICE

<b>1. PREMESSA .....</b>	<b>3</b>
1.1. Quadro normativo.....	3
<b>2. STUDI ED INDAGINI DI RIFERIMENTO .....</b>	<b>4</b>
<b>3. INQUADRAMENTO GEOGRAFICO GENERALE.....</b>	<b>5</b>
<b>4. CARATTERISTICHE DI PROGETTO DELL'OPERA.....</b>	<b>9</b>
<b>5. INQUADRAMENTO GEOLOGICO .....</b>	<b>11</b>
5.1. Descrizione del contesto geologico dell'area vasta oggetto di intervento.....	11
5.2. SITUAZIONE GEOLOGICA E LITOSTRATIGRAFICA DELL'AREA INTERESSATA DALL'INTERVENTO ...	17
<b>6. CARATTERI GEOSTRUTTURALI, GEOMETRIA E CARATTERISTICHE DELLE SUPERFICI DI DISCONTINUITÀ.....</b>	<b>17</b>
<b>7. INQUADRAMENTO GEOMORFOLOGICO.....</b>	<b>17</b>
7.1. Analisi dell'area geomorfologicamente significativa al progetto.....	18
<b>8. INQUADRAMENTO CLIMATICO .....</b>	<b>19</b>
8.1. Precipitazioni.....	19
8.2. Temperature.....	20
<b>9. INQUADRAMENTO IDROGEOLOGICO .....</b>	<b>23</b>
9.1. Schema della circolazione idrica superficiale.....	23
9.1. Schema della circolazione idrica sotterranea .....	24
9.2. Dissesti in atto o potenziali che possono interferire con l'opera e loro tendenza evolutiva .....	29
<b>10. INQUADRAMENTO PEDOLOGICO .....</b>	<b>29</b>
<b>11. FATTIBILITA' IDROGEOLOGICA .....</b>	<b>31</b>



## Indice delle figure

Figura 1 Inquadramento geografico dell'area di progetto .....	5
Figura 2 Inquadramento topografico, CTR 1:10.000 .....	6
Figura 3 Inquadramento topografico IGM Serie 25.....	7
Figura 4 Localizzazione area di progetto (Fonte RAS) .....	8
Figura 5 schema di funzionamento del sistema ad inseguimento .....	10
Figura 6 Schema tettonico-strutturale della Sardegna.....	12
Figura 7 Schema Tettonico dell'area vasta di studio (Fig.556 Assemini, Porretto CARG) – in rosso l'area di interessa al progetto .....	14

Figura 8 Sezione geologica rappresentativa dell'area vasta (Fg.556 Assemini, Porgetto CARG) .....	14
Figura 9 Stralcio Carta Geologica d'Italia scala 1:100.000 foglio 556 "Assemini" .....	15
Figura 10 Stralcio della Carta Geologica dell'area di interesse.....	16
Figura 11 paesaggio dell'area di studio – Loc. Planemesu .....	18
Figura 12 andamento medio mensile delle precipitazioni nella Stazione di Sestu (CA).....	20
Figura 13 andamento medio mensile delle temperature massime .....	21
Figura 14 Diagramma ombrotermico (Bagnouls- Gaussen) per il settore di Uta .....	21
Figura 15 Suddivisione dei bacini idrografici sardi. ....	23
Figura 16 Carta dell'idrografia superficiale e interferenze con gli elementi di progetto.....	24
Figura 17 Sistemi idrogeologici dell'area occidentale del foglio 556 "Assemini" .....	26
Figura 18 Carta delle permeabilità dei substrati .....	27
Figura 19 Monografie pozzi esistenti (Fonte Archivio Nazionale sulle indagini nel sottosuolo) .....	28
Figura 20 Stralcio della Carta dei Suoli della Sardegna (Fonte RAS).....	30

0380

## 1. PREMESSA

Il proponente **IBERDROLA RENEVABLES ITALIA S.p.A.** intende realizzare un impianto fotovoltaico in località **"Perdu Moi"** nel territorio comunale di **Uta** e denominato **"Prangili"** per il cui progetto è stato conferito, alla scrivente Geol. Cosima Atzori, regolarmente iscritta all'Albo Professionale dei Geologi della Sardegna al n°656, con studio in Sestu (CA) – C.D. Pittarello - Loc. Scala Sa Perda 87, C.F. TZRC5M72H41B354F e P.I.V.A. 03191600927, l'incarico professionale per la redazione della **Relazione Idrogeologica**, la cui stesura ottempera quanto previsto dal D.M. del 17/01/2018 recante le nuove Norme Tecniche per le Costruzioni (di seguito NTC2018), con l'obiettivo di evidenziare, in via preliminare, le caratteristiche geologico-morfologiche e il comportamento idrogeologico dei terreni interessati dalle opere in progetto.

### 1.1. QUADRO NORMATIVO

La presente è redatta in ottemperanza a quanto stabilito dalla vigente normativa in materia, con particolare riferimento a:

- D.M. LL.PP. 11.03.1988 "Norme Tecniche riguardanti le indagini sui terreni e sulle rocce, la stabilità dei pendii attuali e delle scarpate, i criteri generali e le prescrizioni per la progettazione, l'esecuzione e il collaudo delle opere di sostegno delle terre e delle opere di fondazione in applicazione della Legge 02.02.1974 n°64.
- Circ. Min. LL.PP. n° 30483 del 24.09.1988 – Istruzioni pe l'applicazione del D.M. LL.PP.11.03.1988.
- Raccomandazioni, programmazione ed esecuzione delle indagini geotecniche, 1975 – Associazione Geotecnica Italiana.
- D.M. Infrastrutture 17.01.2018 - Norme Tecniche per le Costruzioni. (6.2.1 – Caratterizzazione e modellazione geologica del sito, 6.4.2 Fondazioni superficiali)
- D.lgs. n. 152/2006 Norme in materia ambientale
- DPR 59/2013 Regolamento recante la disciplina dell'autorizzazione unica ambientale e la semplificazione di adempimenti amministrativi in materia ambientale gravanti sulle piccole e medie imprese e sugli impianti non soggetti ad autorizzazione integrata ambientale
- Dgls 50/2016 Codice dei contratti pubblici
- Deliberazione n. 6/16 del 14 febbraio 2014- Direttive in materia di autorizzazione unica ambientale. Raccordo tra la L.R. n. 3/2008, art.1, commi 16-32 e il D.P.R. n. 59/2013.

## 2. STUDI ED INDAGINI DI RIFERIMENTO

Le informazioni topografiche e geologiche dell'area oggetto della presente sono state ricavate dalla cartografia tematica esistente. Si elencano di seguito:

- Carta Topografica I.G.M. scala in 1:25000
- Carta Tecnica Regionale in scala 1:10000
- RAS - Modello digitale del Terreno con passo 1m
- Carta Geologica dell'Italia in scala 1:100000.
- Cartografia Geologica di base della R.A.S. in scala 1:25000
- RAS - Carta dell'Uso del Suolo della Regione Sardegna, 2008
- I.S.P.R.A - Archivio nazionale delle indagini nel sottosuolo (legge 464/84)
- RAS – Studio dell'Idrologia Superficiale della Sardegna, annali idrologici 1922-2009
- RAS – ARPA – Dati meteorologici 1971-2000 e 2014
- RAS – Autorità di Bacino - Piano Stralcio d'Assetto Idrogeologico
- RAS – Autorità di Bacino - Piano di Tutela delle Acque
- RAS – Autorità di Bacino - Piano Stralcio delle Fasce Fluviali
- Analisi orto-fotogrammetrica

I dati a disposizione sono stati integrati con le informazioni derivanti dai sopralluoghi effettuati dalla scrivente in sito e dagli esiti della campagna di indagini geofisiche realizzata in data 04.10.2023 oltre che da lavori analoghi nei pressi della zona di interesse.

### 3. INQUADRAMENTO GEOGRAFICO GENERALE

L'area di progetto ricade nell'agro del territorio comunale di **Uta**, a Ovest della zona Industriale CACIP, in località **"Perdu Moi"**. Il territorio è pianeggiante debolmente acclive verso ENE, ad una quota media di circa 85m slmm.

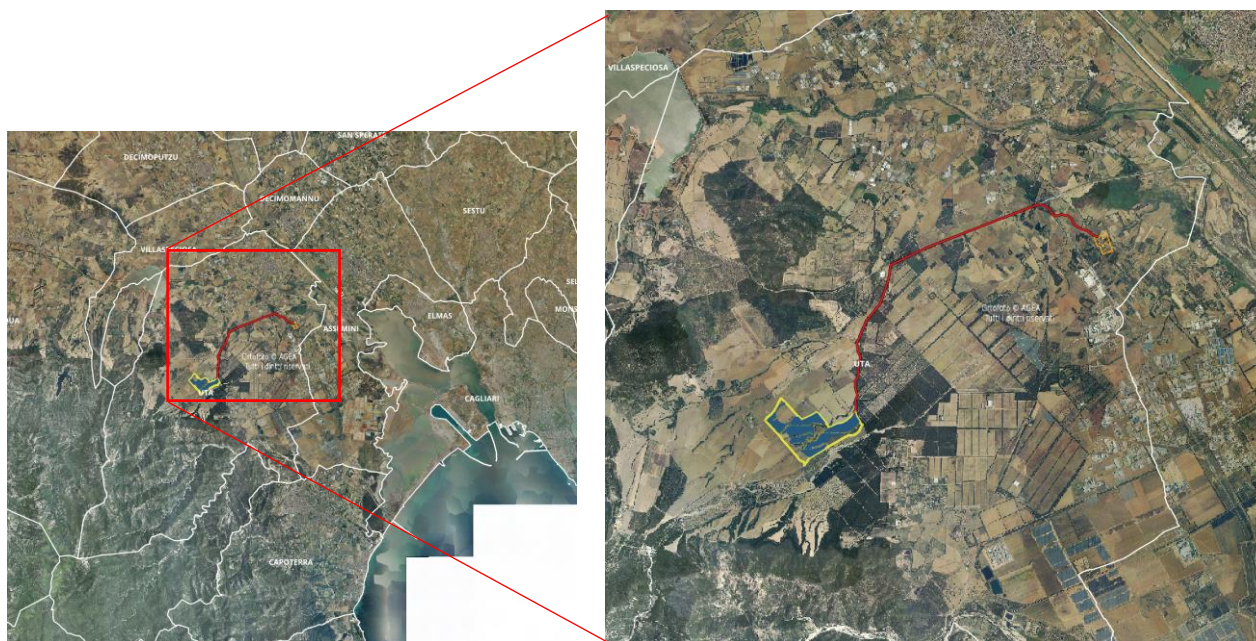


Figura 1 Inquadramento geografico dell'area di progetto

Le coordinate geografiche Gauss-Boaga del centroide ipotetico di riferimento della porzione di impianto

**1 492 743 E – 4 342 485 N**

L'inquadramento cartografico di riferimento è il seguente:

- Cartografia ufficiale dell'Istituto Geografico Militare I.G.M. Serie 25 foglio 556 II "Assemini"
- Carta Tecnica Regionale della Sardegna – scala 1:10000 – sez. 556160 "Azienda Agricola Planemesu"
- Carta Geologica d'Italia – scala 1:50000 – foglio 556 "Assemini"
- Carta Geologica d'Italia – scala 1:100000 – foglio 226 "Cagliari"

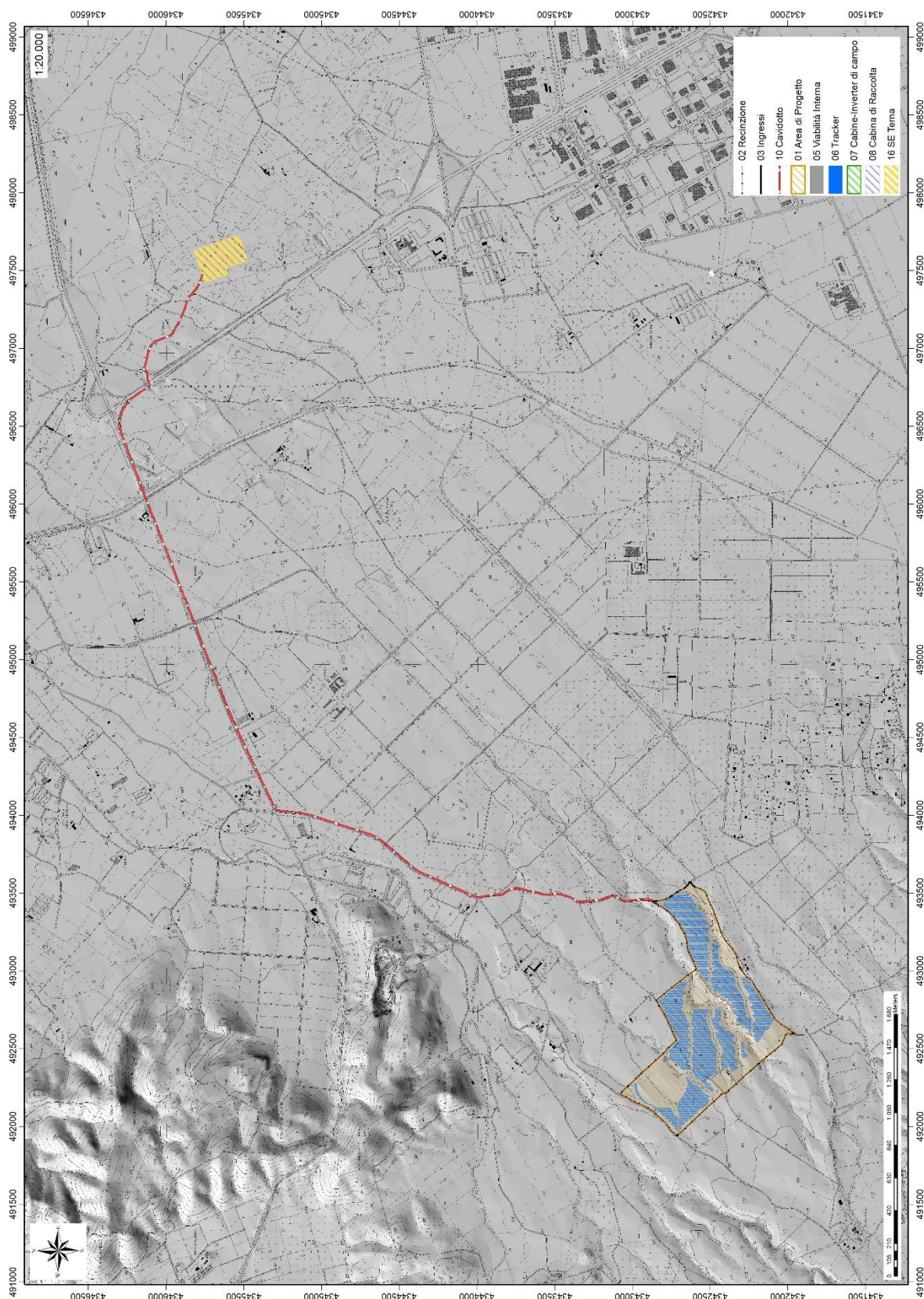


Figura 2 Inquadramento topografico, CTR 1:10.000

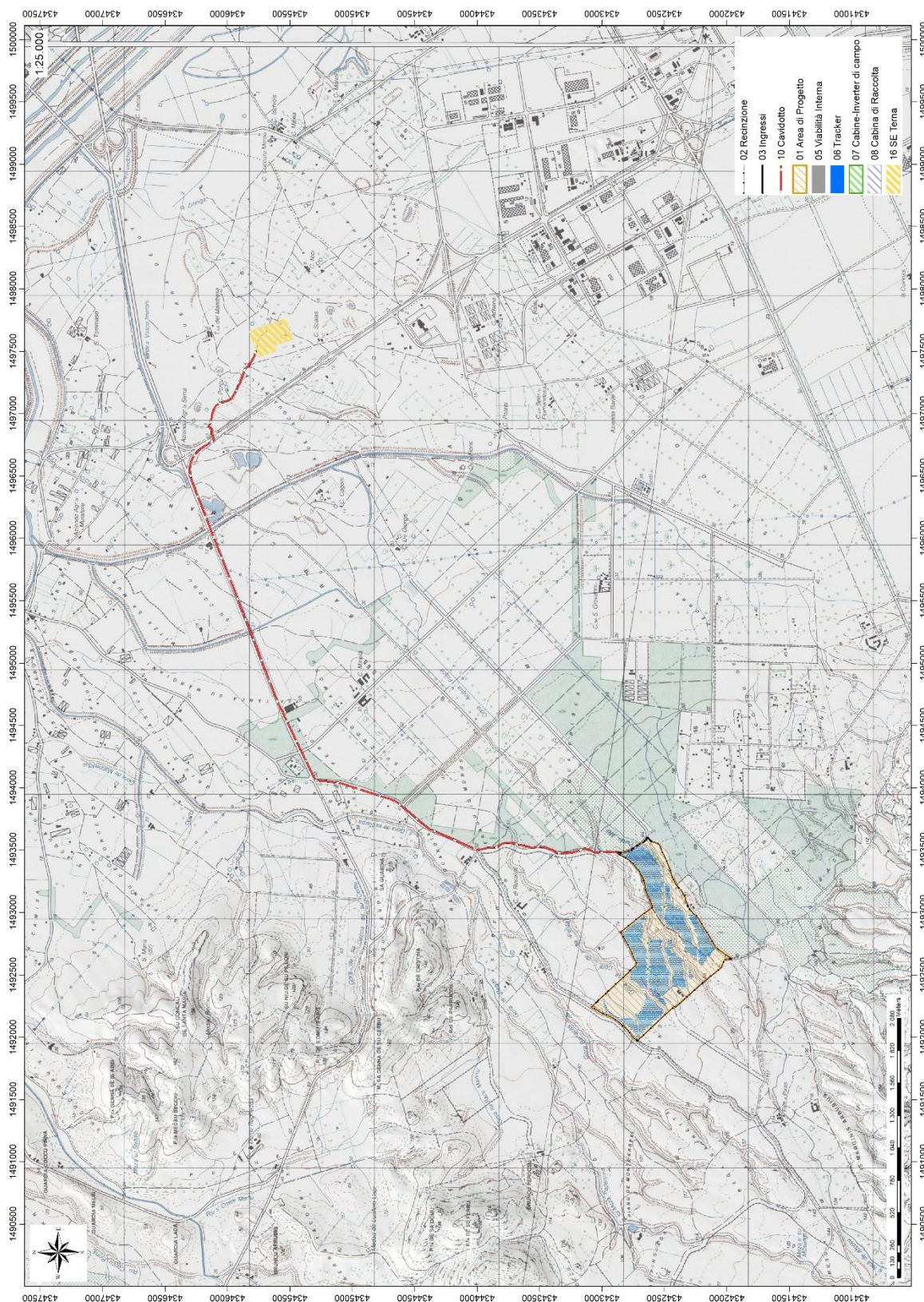


Figura 3 Inquadramento topografico IGM Serie 25





Figura 4 Localizzazione area di progetto (Fonte RAS)

## 4. CARATTERISTICHE DI PROGETTO DELL'OPERA

Il progetto consiste nella realizzazione di un impianto agrivoltaico da 33,614 MW su strutture ad inseguimento monoassiale con potenza pari a 19,6 kW orientate nord-sud distanziate su file parallele.

La connessione dell'impianto prevede la posa di un cavidotto interrato posato parallelamente a strade comunali e alla SP2, della lunghezza di circa 7 km ed il collegamento ad una nuova Stazione Elettrica (SE) di trasformazione della Rete di Trasmissione Nazionale (RTN) a 150/36 kV nel comune di Uta. Considerata la potenza importante dell'impianto, è necessario che essa sia immessa nella rete in alta tensione, pertanto, ci sarà una prima rete di cavi 36 kV interrato che raccolgono l'energia delle cabine di campo e le convogliano ad una cabina di Raccolta e Trasmissione, dalla quale un altro cavo interrato AT provvede a trasportare l'energia in alta tensione, fino allo scomparto 36 kV dedicato nella Nuova Stazione 150/36 kV prevista da Terna.

Le cabine sia quelle dedicate alla parte elettrica di potenza, sia quelle per il control room, verranno realizzate in stabilimenti dedicati per prefabbricati e verranno consegnate in cantiere pronte al collegamento DC lato inverter, AT lato rete di trasferimento e per la parte dati.

Il sistema di sostegno dei moduli ad inseguimento (tracker), è previsto con strutture infisse su file monopalo, con i pannelli montati in configurazione "portrait" (affiancamento sul lato più lungo), con due file per vela. Il fissaggio dei pannelli a terra sarà realizzato con infissione sul terreno tramite macchine battipalo. La soluzione individuata permette una buona ventilazione, un buon irraggiamento del terreno. In generale gli inseguitori possono essere installati anche su terreni non piani, se le pendenze sono comprese entro il 10% che corrisponde ad angolazioni minori di 6°.

Il dimensionamento delle strutture tiene in conto i carichi statici (pesi dei componenti), le sollecitazioni dinamiche del vento e le caratteristiche del terreno.

I dettagli strutturali saranno confermati e/o ridefiniti in fase di progettazione esecutiva, dopo la verifica della disponibilità sul mercato dei componenti scelti (moduli e strutture), insieme ad opportuni saggi sul terreno per validare le caratteristiche ai fini della portanza e della resistenza all'estrazione dei pali.

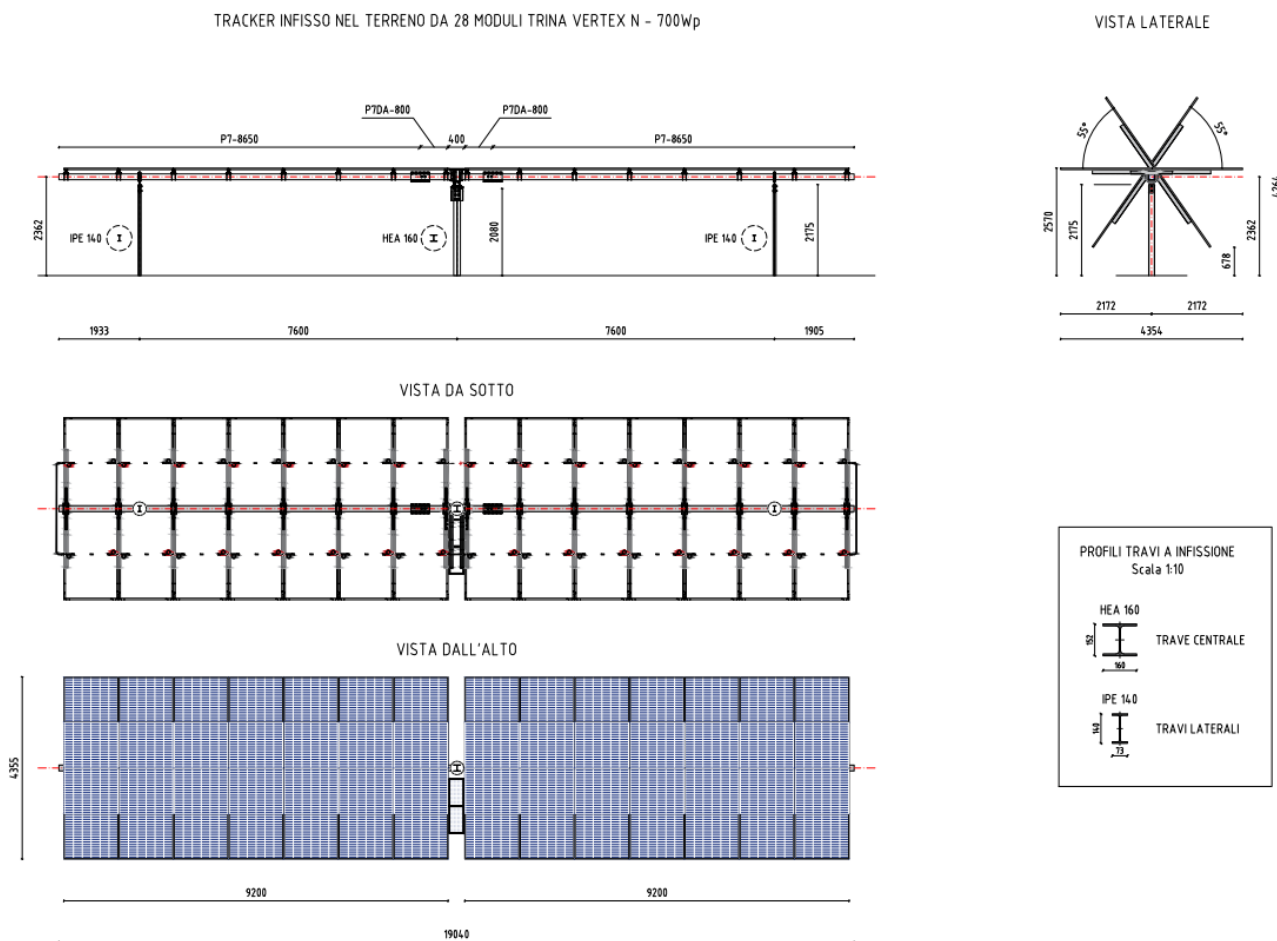


Figura 5 schema di funzionamento del sistema ad inseguimento

Per ulteriori specifiche si rimanda agli elaborati tecnici di progetto.

## 5. INQUADRAMENTO GEOLOGICO

L'obiettivo dell'analisi dell'assetto geologico è quella di caratterizzare geologicamente e geotecnicamente l'area ove verrà installato il parco fotovoltaico e quella geomorfologicamente significativa, con particolare riferimento alle condizioni del substrato di fondazione, agli scavi ed ai riporti necessari per la realizzazione del sistema di fondazione e delle sue potenziali interazioni con le condizioni al contorno (dinamica geomorfologica, circolazione idrica superficiale e sotterranea, rapporti fra le componenti litologiche interessate) attraverso:

- Definizione dell'assetto geologico-strutturale e idrogeologico di area vasta e dell'area geomorfologicamente significativa;
- Definizione dell'assetto stratigrafico dell'area di sedime delle opere;
- Definizione del modello geologico di sito;

### 5.1. DESCRIZIONE DEL CONTESTO GEOLOGICO DELL'AREA VASTA OGGETTO DI INTERVENTO

A partire dal Paleozoico si sono susseguiti una serie di eventi geologici sviluppatasi nell'arco di circa mezzo miliardo di anni, che hanno reso la Sardegna una delle regioni geografiche più antiche del Mediterraneo centrale e, morfologicamente e cronologicamente eterogenea.

L'isola riflette pertanto una storia geologica molto articolata, che testimonia, in maniera più o meno completa, alcuni dei grandi eventi geodinamici degli ultimi 400 milioni di anni.

L'orogenesi Caledoniana, la più antica, le cui tracce si rinvengono principalmente nel nord della Gran Bretagna e nella Scandinavia occidentale, fu causata dalla progressiva chiusura dell'oceano Giapeto, a seguito della collisione dei continenti Laurentia, Baltica e Avalonia, dando così origine al super continente Laurussia.

La successiva fase dell'orogenesi Ercinica (o Varisica) ha avuto corso a partire dal Carbonifero, circa 350 Ma fa e si è protratta fino al Permiano determinando un'estesa catena montuosa ubicata tra il Nord America e l'Europa.

Quest'orogenesi ha prodotto in Sardegna tre zone metamorfiche principali. Procedendo dal nucleo orogenetico verso l'avanfossa si trovano le zone dette: Assiale (Sardegna NE) – a Falde interne (Sardegna centrale) - a Falde esterne (Sardegna SW).

Successivamente, tra il Carbonifero Sup. e il Permiano Inf., avviene la messa in posto dei batoliti granitici tardo ercinici, questa ha prodotto metamorfismo termico e di alta pressione delle rocce esistenti.

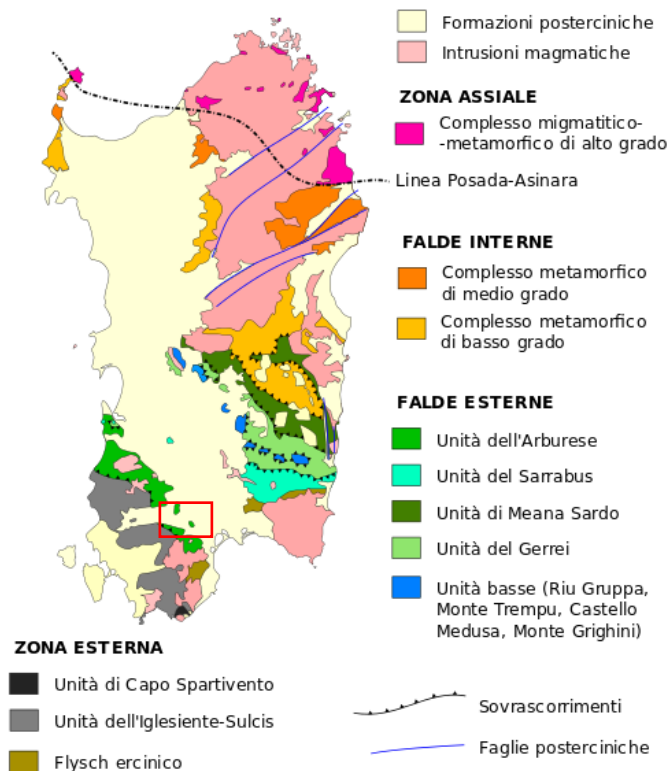


Figura 6 Schema tettonico-strutturale della Sardegna

Il settore di interesse all'installazione dell'impianto fotovoltaico si trova nella zona cosiddetta a Falde Esterne, caratterizzata da fenomeni di medio e basso metamorfismo, localizzata nell'area geografica della Sulcis-Iglesiente.

L'area vasta è costituita principalmente da unità di età paleozoica di origine sedimentaria, e da depositi recenti rappresentati dai prodotti di disfacimento della roccia madre e dei suoi derivati che vanno a colmare le vallecole e/o i piccoli impluvi presenti. I rilievi a monte dei bacini idrografici che interessano la zona di studio fanno riferimento a litologie paleozoiche costituite da ARENARIE DI SAN VITO. Alternanze irregolari, da decimetriche a metriche, di metarenarie medio-fini, metasiltiti con laminazioni piano-parallele, ondulate ed incrociate, e metasiltiti micacee di colore grigio. Intercalazioni di metamicroconglomerati poligenici dell'Unità tettonica dell'Arburese.

L'area di interesse è ubicata nella porzione sud-occidentale del Graben del Campidano, sede di sedimentazione di tipo trasgressivo marino durante il Miocene ed il Pliocene. Durante il Pleistocene, in ambiente freddo e arido con il livello del mare più basso di quello attuale ed un evidente energia erosiva dei corsi d'acqua, si deposita una grande conoide alluvionale che si estende fino alle principali linee di deflusso al centro del Campidano di Cagliari, avente origine dallo smantellamento delle rocce paleozoiche e costituita da ghiaie conglomeratiche a spigoli subangolosi e subarrotondati, in matrice sabbioso-argilloso, successivamente terrazzate. Si riscontrano spesso in lenti e livelli di sabbie grossolane intercalati a livelli

ghiaiosi, interdigitati e in eteropia di facies orizzontale e verticale. Si tratta di terreni sovraconsolidati, da mediamente consistenti a molto consistenti, all'interno dei quali sono interstratificate lenti di sabbie grossolane e ghiaie, talora ben cementate a formare veri e propri conglomerati.

Successivamente, nel Quaternario, in ambiente caldo umido, l'area è stata ricoperta da materiali di origine sedimentaria trasportati in massima parte dai corsi d'acqua e costituiti principalmente da conglomerati, sabbie e argille più o meno compatti, disposti in terrazzi e conoidi. Si tratta anche in questo caso di un complesso di termini alluvionali con rapporti di eteropia di facies, talvolta poco distinguibili da quelli di età più antica, che determinano frequenti quanto graduali variazioni granulometriche sia in senso verticale, sia orizzontale. Infine, la successione stratigrafica si conclude con la presenza di alluvioni recenti di natura esclusivamente sedimentaria.

Al di sopra questo complesso, in affioramento si ritrova ovunque una coltre pedogenizzata che può raggiungere anche spessori importanti. In tutta la zona, in ragione della sovrapposizione stratigrafica di terreni costituiti da formazioni ciottoloso/ghiaioso permeabili e livelli marnoso argillosi impermeabili, e della presenza quindi di più acquiferi sovrapposti, si è sviluppata nel tempo la pratica dell'escavazione di pozzi di varia profondità per l'approvvigionamento idrico delle colture orticole, che rappresentano la più importante attività economica per la zona.

In particolare, nell'area vasta affiorano le seguenti litologie, di seguito riportate con la nomenclatura adottata dalla RAS nella stesura della cartografia geologica in scala 1:25000:

**h1m** – Depositi antropici, discariche minerarie. OLOCENE

**e5** - Depositi palustri. Limi ed argille limose talvolta ciottolose, fanghi torbosi con frammenti di molluschi. OLOCENE

**bn**a - Depositi alluvionali terrazzati. Ghiaie con subordinate sabbie. OLOCENE

**PVM2a** - Litofacies nel Subsistema di Portoscuso (SINTEMA DI PORTOVESME). Ghiaie alluvionali terrazzate da medie a grossolane, con subordinate sabbie. PLEISTOCENE SUP.

**SVI** - ARENARIE DI SAN VITO. Alternanze irregolari, da decimetriche a metriche, di metarenarie medio-fini, metasiltiti con laminazioni piano-parallele, ondulate ed incrociate, e metasiltiti micacee di colore grigio. Intercalazioni di metamicroconglomerati poligenici. (CAMBRIANO- ORDOVICIANO inf.)

SCHEMA TETTONICO

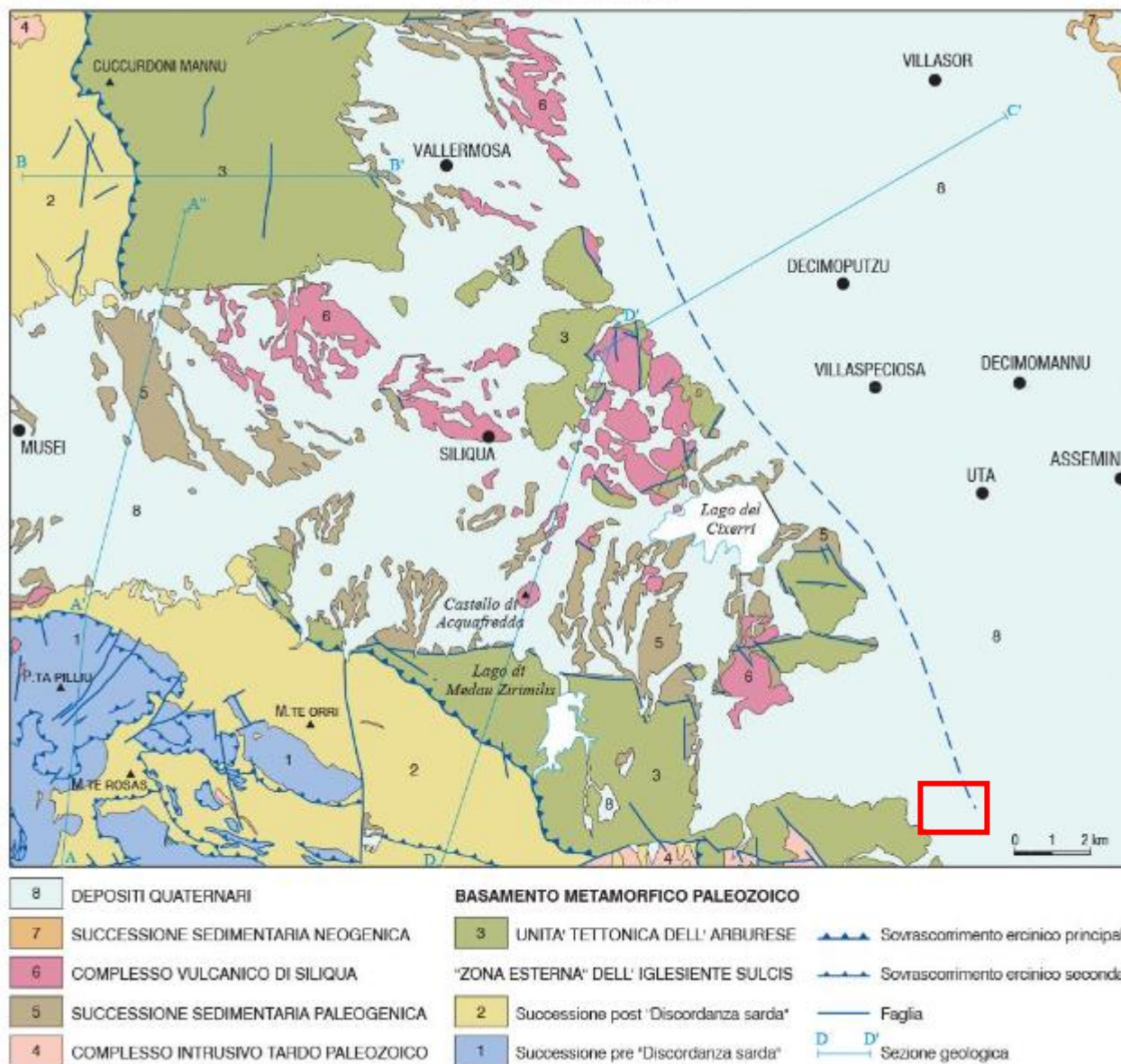


Figura 7 Schema Tettonico dell'area vasta di studio (Fig.556 Assemini, Porgetto CARG) – in rosso l'area di interesse al progetto

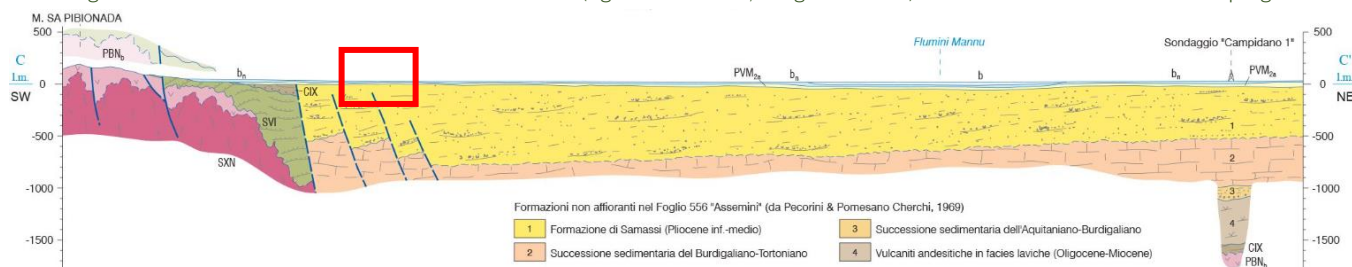


Figura 8 Sezione geologica rappresentativa dell'area vasta (Fig.556 Assemini, Porgetto CARG)



Figura 9 Stralcio Carta Geologica d'Italia scala 1:100.000 foglio 556 "Assemini"



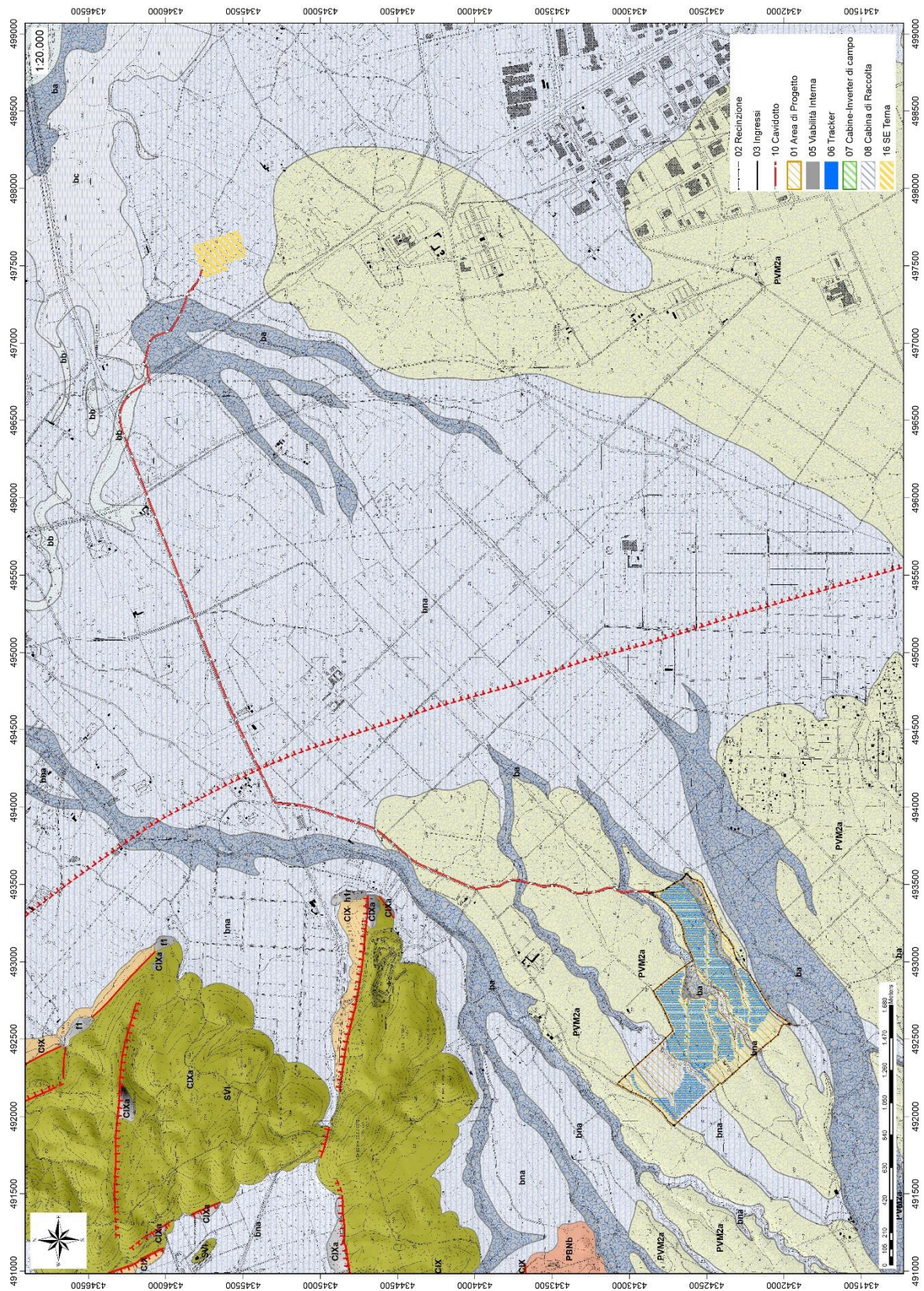


Figura 10 Stralcio della Carta Geologica dell'area di interesse

## 5.2. SITUAZIONE GEOLOGICA E LITOSTRATIGRAFICA DELL'AREA INTERESSATA DALL'INTERVENTO

L'area di intervento sorgerà su depositi alluvionali pleistocenici costituiti da depositi alluvionali antichi rappresentati **ghiaie ciottolose in matrice sabbioso-argillosa** – da sciolti a mediamente addensati, ferrettizzati. La falda si trova ad una quota media di circa 8-9 m da piano campagna. Tale valore deriva da informazioni bibliografiche e andrà confermato in sede di progettazione esecutiva.

## 6. CARATTERI GEOSTRUTTURALI, GEOMETRIA E CARATTERISTICHE DELLE SUPERFICI DI DISCONTINUITÀ

I depositi alluvionali interessati dall'intervento di progetto non presentano per loro natura genetica fratturazione primaria o secondaria.

Si tratta di depositi ancora definibili come mediamente cementati nei livelli più antichi e quindi più profondi, conseguentemente le superfici di discontinuità rilevabili sono quelle di natura strettamente deposizionale legate al processo di sedimentazione e alla granulometria (alternanze più o meno marcate di strati da grossolani - ciottoli, ghiaie - a più sottili - sabbie, subordinatamente limi e argille).

Non sono evidenti tracce di lineazioni tettoniche evidentemente obliterate dalle coperture recenti.

## 7. INQUADRAMENTO GEOMORFOLOGICO

L'impianto fotovoltaico verrà posizionato a sud-est del complesso metarenaceo delle Arenarie di San Vito che affiorano nei rilievi di P.ta de Cristina (148m), Punta del Parruccu (140m), in località Perdu Moi.

Il territorio indagato è costituito sostanzialmente da una zona sub-collinare, con rilievi arrotondati talora più aspri e dislivelli dell'ordine di 200 m circa tra monte e valle.

Dal punto di vista morfologico, il territorio che da Uta si estende verso Decimomannu, San Sperate, è caratterizzato da estrema regolarità superficiale e da un intenso grado di utilizzazione agricola, favorita dalla fertilità del suolo e dalla presenza di numerosi corsi d'acqua anche a carattere stagionale, tributari dello stagno di Santa Gilla.

I materiali più recenti, olocenici recenti ed attuali, rappresentati da depositi detritici di pendio in prossimità dei rilievi, nella piana sono costituiti dai depositi alluvionali del Rio Cixerri e del Flumini Mannu e da depositi marini e palustri che si interdigitano in maniera complessa e discontinua, in relazione ai ripetuti fenomeni alluvionali e di erosione.

I vari steps erosionali legati alle fasi glaciali e interglaciali dell'Olocene, producono terrazzamenti di diverso ordine determinano la locale rottura di planarità tipica della valle alluvionale. Proprio sul lato ovest del lotto è presente un terrazzamento da erosione generato dal deflusso del Rio Marmureri che, raggiunta la piana, prende il nome di Rio Santa Lucia e che trova il suo recettore finale nello stagno di Capoterra.

La rottura di pendio tra i rilievi e la piana alluvionale viene ammorbidita dalla geometria della conoide pliestocenica definendo un profilo di versante meno aspro.



Figura 11 paesaggio dell'area di studio – Loc. Planemesu

### 7.1. ANALISI DELL'AREA GEOMORFOLOGICAMENTE SIGNIFICATIVA AL PROGETTO

L'area geomorfologicamente significativa per le azioni di progetto è quell'area in cui si esplicano tutti i processi geomorfici, il cui effetto può generare interazioni con le dinamiche ambientali. Pertanto, la stessa, nello specifico, si individua nei versanti e nei sub-bacini idrografici presenti che interferiscono con l'opera.

La geomorfologia di quest'area è fortemente dominata dalle dinamiche di natura alluvionale e di versante che hanno prodotto le forme tipiche che caratterizzano e in parte obliterano i bordi del Graben campidanese.

## 8. INQUADRAMENTO CLIMATICO

La definizione del clima è basata sull'analisi dei parametri meteorologici più comunemente studiati, quali la temperatura e le precipitazioni, il cui andamento è legato alle variazioni stagionali della circolazione atmosferica, considerando inoltre la ventosità, la nuvolosità e l'umidità relativa. Il clima della Sardegna viene generalmente classificato come "Mediterraneo Interno", caratterizzato da inverni miti e relativamente piovosi ed estati secche e calde, con valori minimi invernali di alcuni gradi al di sotto dello zero e massimi estivi anche superiori ai +40 C.

Lungo le zone costiere, grazie alla presenza del mare, si hanno inverni miti con temperature che scendono raramente sotto lo zero. Anche nelle zone interne pianeggianti e collinari il clima è tipicamente mediterraneo, anche se a causa della maggior lontananza dal mare si registrano temperature invernali più basse ed estive più alte rispetto alle aree costiere.

Nelle zone più interne, come gli altopiani e le vallate spesso incastonate tra i rilievi, il clima acquista caratteri continentali con forti escursioni termiche, risultando particolarmente basse le minime invernali in caso di inversione termica, con temperature che possono scendere anche al di sotto dei -10/-12 C. Sui massicci montuosi nei mesi invernali nevicata frequentemente e le temperature scendono sotto lo zero, mentre nella stagione estiva il clima si mantiene fresco, soprattutto durante le ore notturne, e raramente fa caldo per molti giorni consecutivi.

La Sardegna inoltre è una regione molto ventosa; i venti dominanti sono quelli provenienti dal settore occidentale (Maestrale e Ponente) e, in minor misura quelli provenienti da quello meridionale (Scirocco).

Le precipitazioni sono distribuite in maniera variabile ed irregolare, con medie comprese tra i 400 e i 600 mm annui lungo le coste e valori pluviometrici che raggiungono e superano i 1000 mm annui (con locali picchi superiori ai 1300-1400 mm) in prossimità dei rilievi montuosi.

A causa del dominio sulla regione dei venti provenienti dai quadranti occidentali, mediamente la maggior frequenza di giorni di pioggia si riscontra nelle zone occidentali dell'isola, mentre in quelle orientali, trovandosi sottovento a questo tipo di circolazione a causa dell'orografia, si ha una minore frequenza di giornate piovose.

Tuttavia, le zone orientali sono spesso soggette a fortissime piogge, per cui gli accumuli medi annuali sono simili tra i due versanti.

L'analisi climatologica del territorio di Cagliari è stata condotta attraverso lo studio delle variabili pluviometriche registrate nella stazione Sestu ubicata nel territorio urbano ad una quota di 48m slmm ritenuta rappresentativa per l'area in questione.

### 8.1. PRECIPITAZIONI

L'analisi delle condizioni pluviometriche è stata eseguita utilizzando i dati rilevati dal nell'ultimo trentennio 1981 – 2010 dalla Agenzia regionale per la protezione dell'Ambiente ARPAS. Partendo da questi dati, è stato possibile calcolare il valore medio annuale delle precipitazioni che raggiunge i 404,7 mm. L'andamento medio delle precipitazioni evidenzia che i mesi più piovosi risultano rispettivamente Novembre e Dicembre con 67,2 mm, 56,5mm.

Luglio è il mese meno piovoso, con 1,3 mm di pioggia.

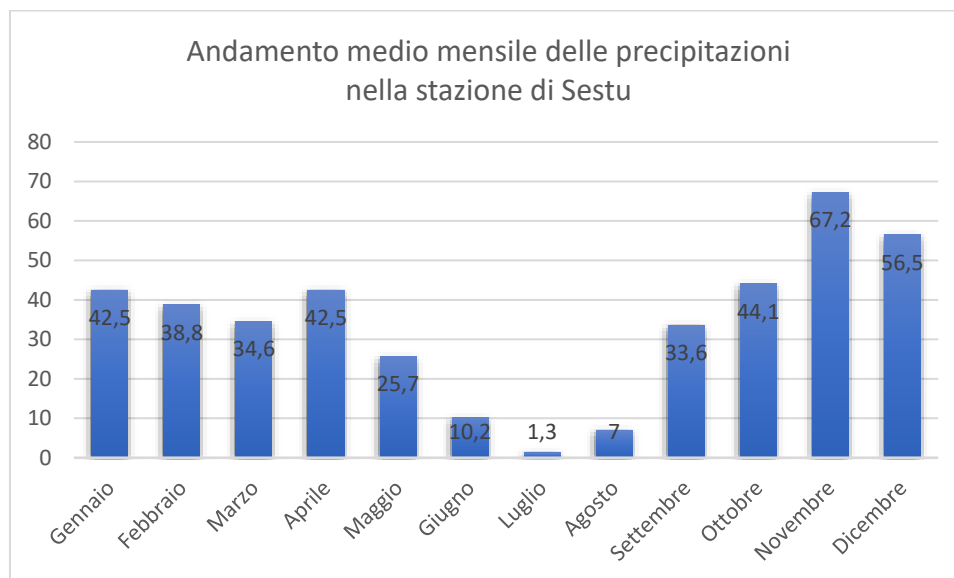


Figura 12 andamento medio mensile delle precipitazioni nella Stazione di Sestu (CA)

## 8.2. TEMPERATURE

Per lo studio delle condizioni termiche della zona sono stati utilizzati i dati relativi alla temperatura media mensile rapportata solo ad un quinquennio di osservazioni e riferita alla stazione termometrica di Cagliari. Il massimo valore della temperatura media si registra nei mesi di Luglio e Agosto rispettivamente con 30,9°C e 31,1°C.

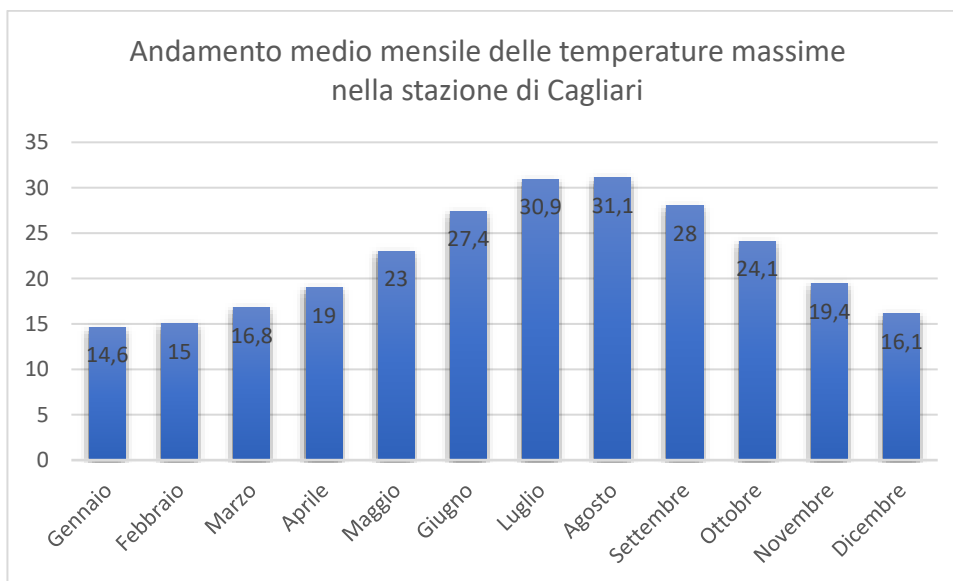


Figura 13 andamento medio mensile delle temperature massime

Il diagramma ombrotermico elaborato per l'area di Cagliari a partire dai dati sulla temperatura media e precipitazioni medie permette di comparare contemporaneamente i regimi medi mensili termici e pluviometrici nell'arco del periodo considerato. L'andamento delle curve consente di visualizzare che nei mesi estivi, dove la temperatura media mensile raggiunge valori superiori ai 31 °C, si hanno i valori di piovosità inferiori, mentre nei mesi invernali, dove le temperature medie mensili sono pari a 14°C, si raggiungono le piovosità più elevate.

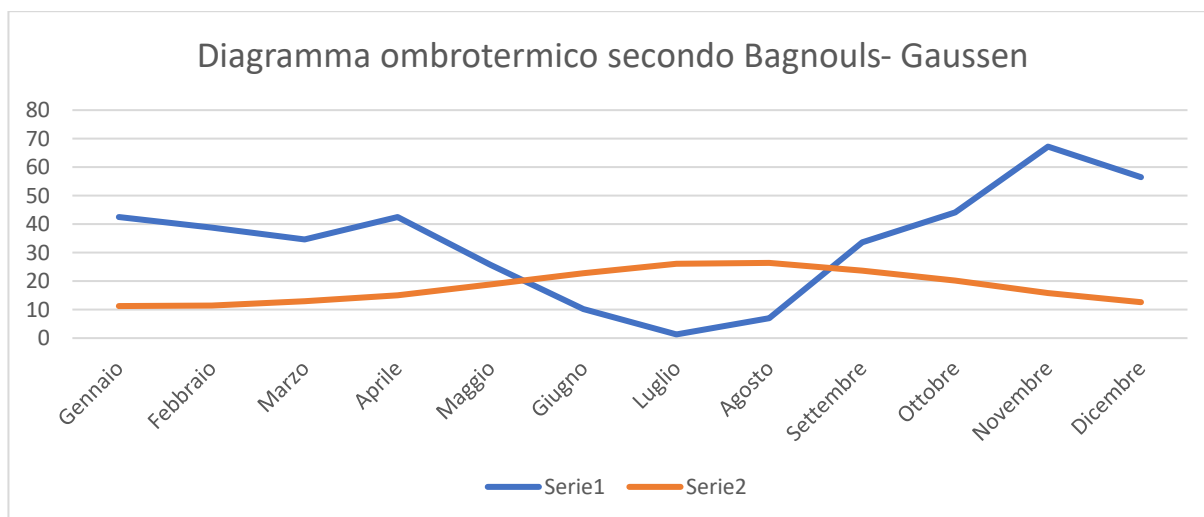


Figura 14 Diagramma ombrotermico (Bagnouls- Gausson) per il settore di Uta

Il clima è caratterizzato da un periodo caldo con scarsa piovosità e uno più freddo e piovoso. Nel grafico di si nota che la curva delle precipitazioni giace al di sotto di quella delle temperature nei mesi estivi, che rappresentano il periodo secco in quanto prevale l'evapotraspirazione rispetto agli apporti idrici.

L'analisi delle medie mensili di temperatura e piovosità relative al periodo 2012-2018 permette di classificare il clima dell'area di interesse come "mediterraneo con estate calda", nel quale la temperatura media annua (18 °C), non scende mai sotto agli 5 °C, e per quattro mesi (Giugno-Settembre) supera i 28 °C, e le precipitazioni sono superiori ai 650 mm annui.

La classificazione fatta sul clima della regione è confermata anche dall'indice di aridità medio di Demartonne stimato per l'area in oggetto che ricade nel settore da "secco – sub-umido" a "subumido" per il periodo considerato.

L'analisi dei parametri meteorologici permette di confermare l'andamento climatico rilevato in quasi tutta la Sardegna, nettamente bistagionale con le stagioni caldo arida e fresca umida che si alternano nel corso dell'anno, intervallate da due brevi stagioni a carattere intermedio.

## 9. INQUADRAMENTO IDROGEOLOGICO

### 9.1. SCHEMA DELLA CIRCOLAZIONE IDRICA SUPERFICIALE

Secondo la classificazione dei bacini sardi riportata nel Piano di Assetto Idrogeologico, il comune di Uta è incluso nel Sub – Bacino n° 7 “Flumendosa-Campidano-Cixerri”, che si estende per una superficie di 5.960Km<sup>2</sup>, pari al 25% del territorio regionale. I bacini idrografici di maggior estensione sono costituiti dal Flumendosa, dal Flumini Mannu, dal Cixerri, dal Picocca e dal Corr’e Pruna; numerosi bacini minori risultano compresi tra questi e la costa, come per il caso del Rio Santa Lucia.

Lo sviluppo del reticolo idrografico è strettamente connesso alle caratteristiche chimico-fisiche delle rocce costituenti il substrato, e al controllo tettonico che si manifesta molto evidente su alcune linee di deflusso. Le rocce metamorfiche sono spesso caratterizzate dalla presenza di sistemi di giunti e discontinuità, spesso visibili ad occhio nudo, che influenzano la circolazione idrica superficiale che si presenta differentemente articolata in funzione dell’aliquota d’acqua di infiltrazione.

I corsi d’acqua principali presenti nell’area sono: Riu Is Cresieddas che scorre a nord dell’impianto e il Rio S’Isca de Arcosu invece prossimo a sud dell’impianto. Il lotto è altresì interessato da diverse incisioni (gore) che definiscono le linee di deflusso verso est del comparto idrografico di interesse. Si citano da nord a sud: 092090\_FIUME\_9723, 092090\_FIUME\_30561, Gora Corti de Sa Perda, 092090\_FIUME\_5906, 092090\_FIUME\_21936, Gora is Perdu Moi.

Il reticolo idrografico sulle litologie affioranti è impostato su un sistema di valli e compluvi, ed è caratterizzato da una ramificazione ben sviluppata nell’area vasta e nell’area di interesse per lo sviluppo del progetto. Lo sviluppo del reticolo idrografico è strettamente connesso alle caratteristiche chimico-fisiche delle rocce costituenti il substrato, e al controllo tettonico che si manifesta molto evidente su alcune linee di deflusso.

Gli impluvi costituiscono essenzialmente le aste tributarie di primo e secondo ordine dei torrenti che scorrono più a valle: essi presentano carattere essenzialmente torrentizio con deflussi stagionali legati strettamente alle precipitazioni. Lungo i versanti a maggiore pendenza i corsi d’acqua assumono un elevato potere erosivo, mentre solamente a valle, in corrispondenza di aste di ordine intermedio sono evidenti fenomeni di deposizione di coltri alluvionali di spessore molto modesto.

Sono presenti diversi corsi d’acqua lungo tutta l’area di interesse, e i relativi affluenti. Dall’esame della cartografia IGM al 25.000, dal reticolo ufficiale non si riscontrano interferenze con le opere in progetto.



Figura 15 Suddivisione dei bacini idrografici sardi.



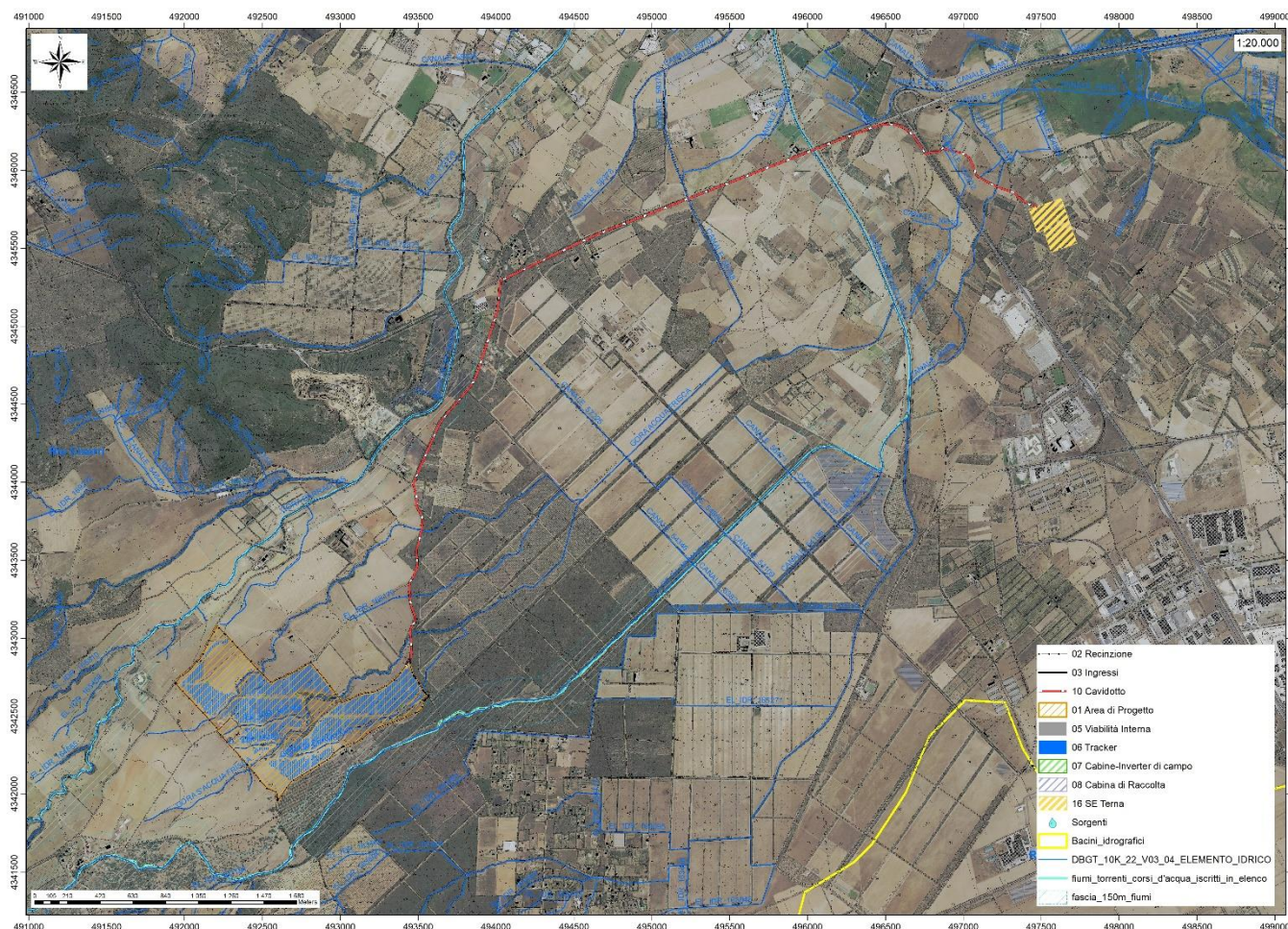


Figura 16 Carta dell'idrografia superficiale e interferenze con gli elementi di progetto

### 9.1. SCHEMA DELLA CIRCOLAZIONE IDRICA SOTTERRANEA

Uno studio idrogeologico ha lo scopo di identificare lo schema di circolazione idrica sotterranea relativo ad una determinata area per poter ricavare informazioni circa i rapporti tra litotipi presenti, la presenza di acqua e le possibili conseguenze derivanti dalla realizzazione di un'opera.

Nell'area di interesse sono presenti rocce di diversa natura, anche se principalmente sono da riferire al Paleozoico, al Terziario e al Quaternario. Il basamento paleozoico è costituito principalmente da litologie impermeabili e di conseguenza nel complesso sfavorevoli alla ritenzione delle acque meteoriche, che si trovano quindi a scorrere in superficie, come è possibile vedere dallo sviluppo del reticolo idrografico superficiale nella parte occidentale dell'area vasta.

Le coperture prevalentemente ghiaioso-sabbiose su cui verranno installati i pannelli fotovoltaici in progetto, per via della loro composizione chimica e della loro struttura, sono favorevoli alla ritenzione delle acque, e possiedono permeabilità medio-alta per porosità.

Gli afflussi che arrivano sul terreno sotto forma per lo più di piogge, più raramente e poco tempo di neve, in parte scorrono lungo la superficie in genere a lamina d'acqua per poi organizzarsi in deboli rivoli che si concentrano lungo gli impluvi fino a raggiungere le valli, mentre la frazione di acqua che non scorre in superficie in parte evapora e in parte si infiltra nel terreno e nella roccia sottostante scorrendo lungo le fratturazioni in maniera più o meno efficace in funzione del grado di apertura delle stesse.

Maggiore è la presenza di fratture e la porosità del mezzo, maggiore è la possibilità che l'acqua prosegua il suo percorso in profondità.

Da un punto di vista idrogeologico le formazioni dell'area di studio possono essere divise in tre gruppi principali:

- **Basamento Paleozoico.** Affiora nella parte occidentale dell'area vasta, ed è costituito da rocce massive e scistose semipermeabili per fratturazione, da rocce impermeabili, e da rocce permeabili. Complessivamente la permeabilità del basamento metamorfico è scarsa, con Coefficienti di Permeabilità variabili tra  $10^{-7}$  e  $10^{-9}$ .

- **Coperture pleistoceniche.** Tali coperture sono costituite da litotipi a permeabilità medio-alta dovuta alla porosità delle ghiaie conglomeratiche sabbioso-argillose.

- **Depositi quaternari.** I depositi quaternari occupano aree molto limitate nella parte centrale e meridionale dell'area di interesse raggiungendo spessori poco significativi, con una permeabilità medio-alta per porosità. I depositi di versante essendo in gran parte costituiti da una struttura clasto-sostenuta e scarsa matrice (falde di detrito), presentano una permeabilità molto elevata, in ogni caso i loro spessori esigui non garantiscono una potenza sufficiente per generare acquiferi significativi.

Le litologie che interessano l'area di progetto presentano una **permeabilità medio-alta per porosità (MAP)** per quanto attiene ai depositi pleistocenici e **alta per porosità (AP)** per i depositi quaternari, come è possibile vedere dalla Carta delle permeabilità resa disponibile Geoportale della Regione Autonoma della Sardegna.

Dalla carta dei sistemi idrogeologici del foglio 556 "Cagliari", si possono osservare le isopieze relative al complesso di acquiferi che interessano l'area vasta, le quali presentano direzioni di deflusso da nord-ovest verso sud-est.

I valori di coefficienti di permeabilità per queste aree sono stati misurati nell'area SW di Assemini tra **1,7 e  $3,3 \times 10^{-4}$  m/s** (Fonte Progetto CARG)

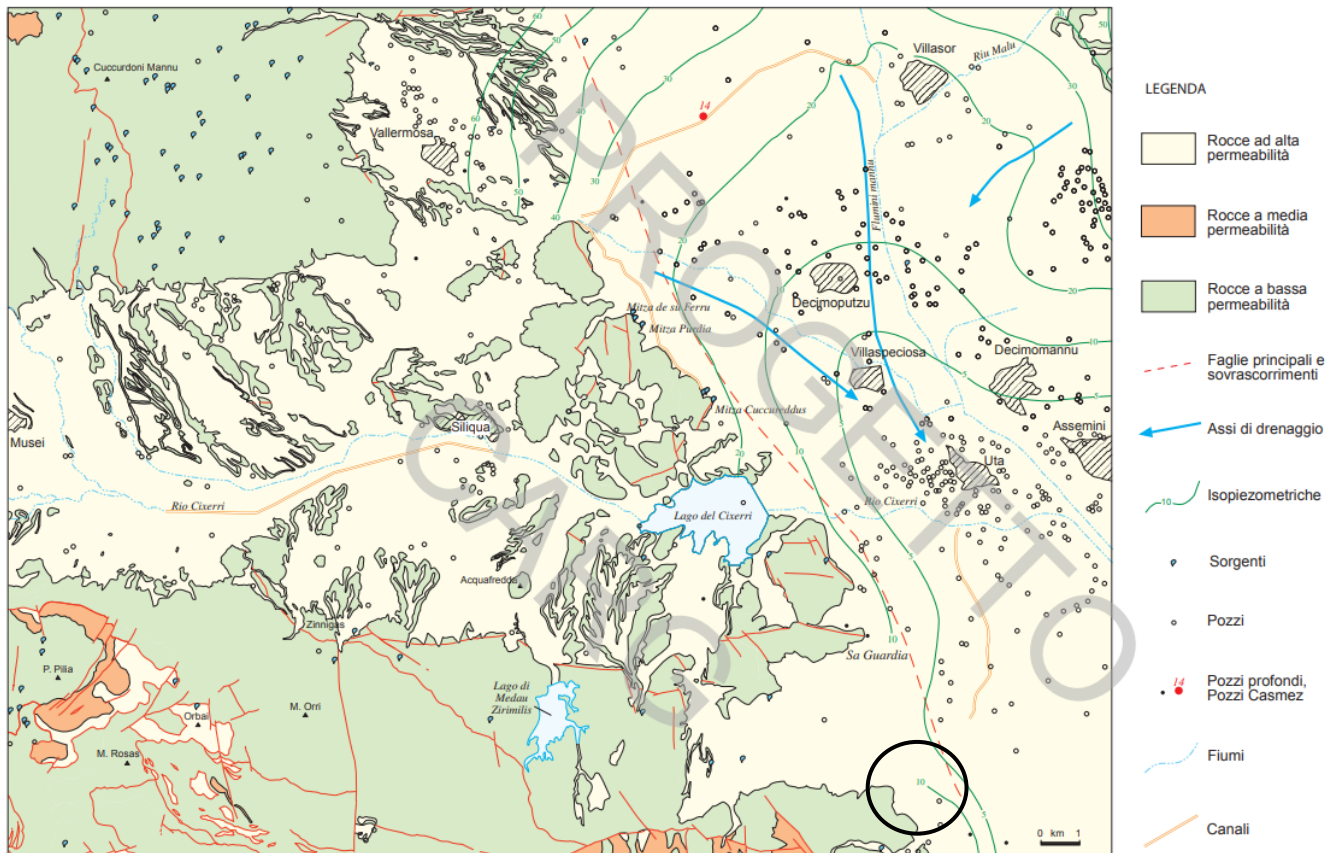


Figura 17 Sistemi idrogeologici dell'area occidentale del foglio 556 "Assemini"

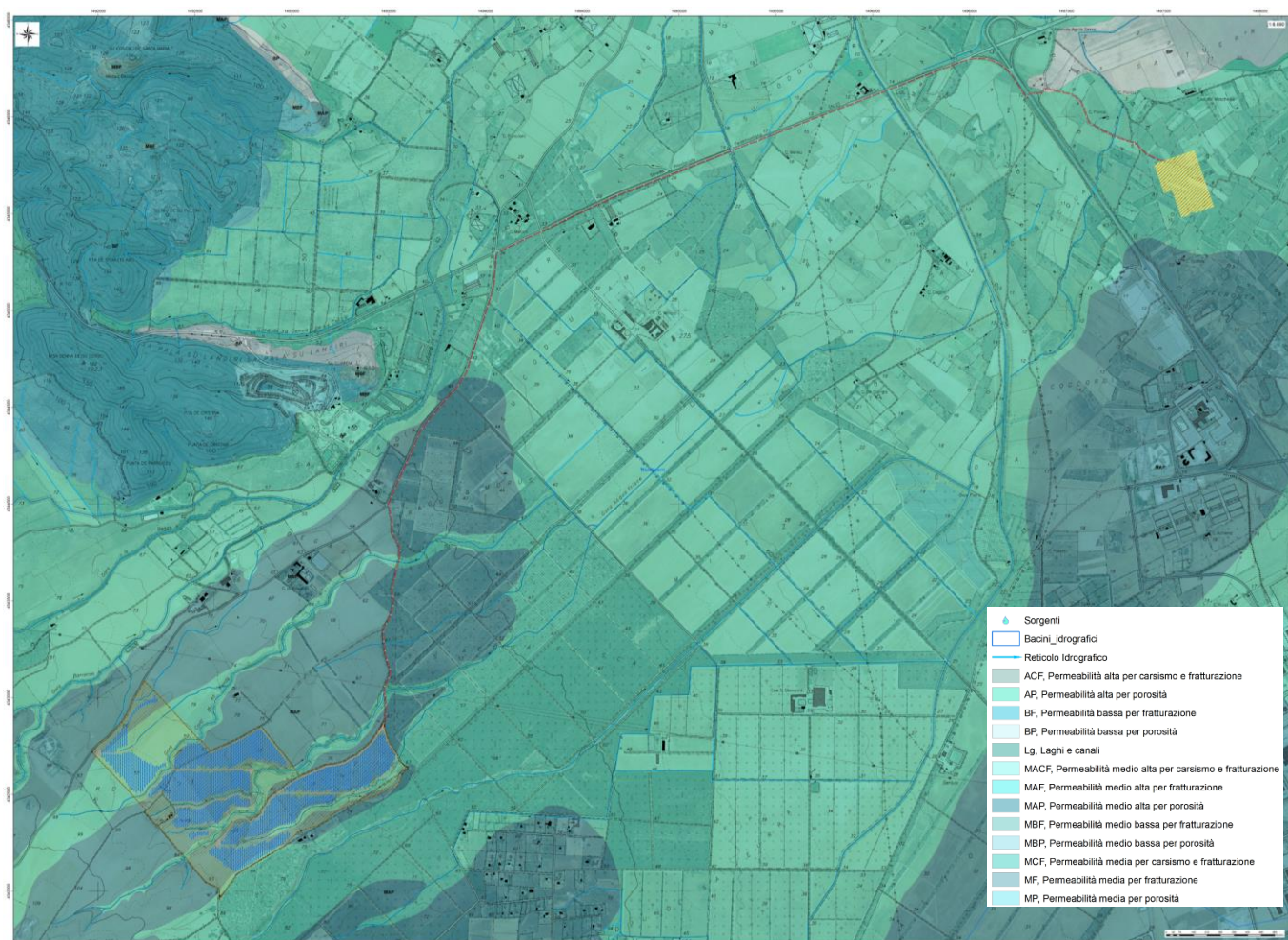
Sono state riconosciute diverse formazioni idrostratigrafiche, rappresentate da corpi geologici caratterizzati da caratteristiche litologiche e di permeabilità omogenee:

- 1) Alta permeabilità: depositi antropici (h1), depositi alluvionali (b), coltri eluvio-colluviali (b2), depositi alluvionali terrazzati (bn) e sintema di Portovesme (PVM);
- 2) Permeabilità bassa: formazione del Cixerri (CIX), andesiti e daciti (PBN, Arenarie di San Vito (SVI)

Dai dati estrapolati dall'archivio Nazionale Delle Indagini Del Sottosuolo (L.464/1984) relativi alle perforazioni, sono stati individuati tre pozzi idrici prossimi al sito di intervento:

- Codice 194847: profondo 59m e situato a NE rispetto al sito di intervento, rileva la prima falda a 70m dal p.c. sul substrato roccioso fratturato;
- Codice 194883: profondo 60m e situato a NE rispetto al sito di intervento, rileva la prima falda a 5m da p.c. sui depositi alluvionali;
- Codice 194881: profondo 169m e situato a SE del sito di intervento, rileva la prima falda a 165m dal p.c. sul substrato roccioso granitoidale fratturato.

Pertanto si può considerare la presenza di una falda superficiale multistrato che interessa i depositi alluvionali e pleistocenici con quota variabile tra i 5 e gli 8 m da p.c., con portata intorno agli 8-10 l/sec, in acquifero semiconfinato tipico in sedimenti di tipo alluvionale nei quali è presente eteropia di facies laterale e verticale.



Dati generali		Ubicazione indicativa dell'area d'indagine																																					
Codice: 194847 Regione: SARDEGNA Provincia: CAGLIARI Comune: UTA Tipologia: PERFORAZIONE Opera: POZZO PER ACQUA Profondità (m): 109,00 Quota pc sim (m): 59,00 Anno realizzazione: 1996 Numero diametri: 1 Presenza acqua: SI Portata massima (l/s): 3,000 Portata esercizio (l/s): 2,500 Numero falde: 2 Numero filtri: 1 Numero piezometrie: 1 Stratigrafia: SI Certificazione(*): NO Numero strati: 7 Longitudine WGS84 (dd): 8,919014 Latitudine WGS84 (dd): 39,243731 Longitudine WGS84 (dms): 8° 55' 08,45" E Latitudine WGS84 (dms): 39° 14' 37,44" N (*)Indica la presenza di un professionista nella compilazione della stratigrafia																																							
<table border="1"> <thead> <tr> <th colspan="5">DIAMETRI PERFORAZIONE</th> </tr> <tr> <th>Progr</th> <th>Da profondità (m)</th> <th>A profondità (m)</th> <th>Lunghezza (m)</th> <th>Diametro (mm)</th> </tr> </thead> <tbody> <tr> <td>1</td> <td>0,00</td> <td>109,00</td> <td>109,00</td> <td>25</td> </tr> </tbody> </table>				DIAMETRI PERFORAZIONE					Progr	Da profondità (m)	A profondità (m)	Lunghezza (m)	Diametro (mm)	1	0,00	109,00	109,00	25																					
DIAMETRI PERFORAZIONE																																							
Progr	Da profondità (m)	A profondità (m)	Lunghezza (m)	Diametro (mm)																																			
1	0,00	109,00	109,00	25																																			
<table border="1"> <thead> <tr> <th colspan="4">FALDE ACQUIFERE</th> </tr> <tr> <th>Progr</th> <th>Da profondità (m)</th> <th>A profondità (m)</th> <th>Lunghezza (m)</th> </tr> </thead> <tbody> <tr> <td>1</td> <td>70,00</td> <td>73,00</td> <td>3,00</td> </tr> <tr> <td>2</td> <td>96,00</td> <td>97,00</td> <td>1,00</td> </tr> </tbody> </table>				FALDE ACQUIFERE				Progr	Da profondità (m)	A profondità (m)	Lunghezza (m)	1	70,00	73,00	3,00	2	96,00	97,00	1,00																				
FALDE ACQUIFERE																																							
Progr	Da profondità (m)	A profondità (m)	Lunghezza (m)																																				
1	70,00	73,00	3,00																																				
2	96,00	97,00	1,00																																				
<table border="1"> <thead> <tr> <th colspan="5">POSIZIONE FILTRI</th> </tr> <tr> <th>Progr</th> <th>Da profondità (m)</th> <th>A profondità (m)</th> <th>Lunghezza (m)</th> <th>Diametro (mm)</th> </tr> </thead> <tbody> <tr> <td>1</td> <td>69,00</td> <td>109,00</td> <td>40,00</td> <td>200</td> </tr> </tbody> </table>				POSIZIONE FILTRI					Progr	Da profondità (m)	A profondità (m)	Lunghezza (m)	Diametro (mm)	1	69,00	109,00	40,00	200																					
POSIZIONE FILTRI																																							
Progr	Da profondità (m)	A profondità (m)	Lunghezza (m)	Diametro (mm)																																			
1	69,00	109,00	40,00	200																																			
<table border="1"> <thead> <tr> <th colspan="5">MISURE PIEZOMETRICHE</th> </tr> <tr> <th>Data rilevamento</th> <th>Livello statico (m)</th> <th>Livello dinamico (m)</th> <th>Abbassamento (m)</th> <th>Portata (l/s)</th> </tr> </thead> <tbody> <tr> <td>ago/1996</td> <td>13,00</td> <td>53,00</td> <td>40,00</td> <td>2,500</td> </tr> </tbody> </table>				MISURE PIEZOMETRICHE					Data rilevamento	Livello statico (m)	Livello dinamico (m)	Abbassamento (m)	Portata (l/s)	ago/1996	13,00	53,00	40,00	2,500																					
MISURE PIEZOMETRICHE																																							
Data rilevamento	Livello statico (m)	Livello dinamico (m)	Abbassamento (m)	Portata (l/s)																																			
ago/1996	13,00	53,00	40,00	2,500																																			
<table border="1"> <thead> <tr> <th colspan="6">STRATIGRAFIA</th> </tr> <tr> <th>Da Progr</th> <th>Da profondità (m)</th> <th>A profondità (m)</th> <th>Spessore (m)</th> <th>Età geologica</th> <th>Descrizione litologica</th> </tr> </thead> <tbody> <tr> <td>1</td> <td>0,00</td> <td>5,00</td> <td>5,00</td> <td></td> <td>ALLUVIONI. DETRITI ALLUVIONALI RECENTI LAPIDEI GRANA MEDIO - GROSSA LOCALE PRESENZA DI MATRICE AGGREGANTE ARGILLOSA</td> </tr> <tr> <td>2</td> <td>5,00</td> <td>8,00</td> <td>3,00</td> <td></td> <td>IDEM. DETRITI ALLUVIONALI ANTICHI LAPIDEI A DIMENSIONI MEDIE</td> </tr> <tr> <td>3</td> <td>8,00</td> <td>130,00</td> <td>122,00</td> <td>EOCENE SUP. OLIGOCENE</td> <td>ALLUVIONI DEL CIXERRI. FORMAZIONE DEL CIXERRI. ARENARIE POLICROME, SPESSE CON ELEMENTI DI NOTEVOLE VOLUME CON MARNE ED ARGILLE SILTLOSE. LOCALE PRESENZA DI INTERCALAZIONI LAVICHE ANDESITICHE E/O ...</td> </tr> <tr> <td>4</td> <td>130,00</td> <td>145,00</td> <td>15,00</td> <td>PALEOZOICO</td> <td>ROCCHE CARBONATICHE</td> </tr> </tbody> </table>				STRATIGRAFIA						Da Progr	Da profondità (m)	A profondità (m)	Spessore (m)	Età geologica	Descrizione litologica	1	0,00	5,00	5,00		ALLUVIONI. DETRITI ALLUVIONALI RECENTI LAPIDEI GRANA MEDIO - GROSSA LOCALE PRESENZA DI MATRICE AGGREGANTE ARGILLOSA	2	5,00	8,00	3,00		IDEM. DETRITI ALLUVIONALI ANTICHI LAPIDEI A DIMENSIONI MEDIE	3	8,00	130,00	122,00	EOCENE SUP. OLIGOCENE	ALLUVIONI DEL CIXERRI. FORMAZIONE DEL CIXERRI. ARENARIE POLICROME, SPESSE CON ELEMENTI DI NOTEVOLE VOLUME CON MARNE ED ARGILLE SILTLOSE. LOCALE PRESENZA DI INTERCALAZIONI LAVICHE ANDESITICHE E/O ...	4	130,00	145,00	15,00	PALEOZOICO	ROCCHE CARBONATICHE
STRATIGRAFIA																																							
Da Progr	Da profondità (m)	A profondità (m)	Spessore (m)	Età geologica	Descrizione litologica																																		
1	0,00	5,00	5,00		ALLUVIONI. DETRITI ALLUVIONALI RECENTI LAPIDEI GRANA MEDIO - GROSSA LOCALE PRESENZA DI MATRICE AGGREGANTE ARGILLOSA																																		
2	5,00	8,00	3,00		IDEM. DETRITI ALLUVIONALI ANTICHI LAPIDEI A DIMENSIONI MEDIE																																		
3	8,00	130,00	122,00	EOCENE SUP. OLIGOCENE	ALLUVIONI DEL CIXERRI. FORMAZIONE DEL CIXERRI. ARENARIE POLICROME, SPESSE CON ELEMENTI DI NOTEVOLE VOLUME CON MARNE ED ARGILLE SILTLOSE. LOCALE PRESENZA DI INTERCALAZIONI LAVICHE ANDESITICHE E/O ...																																		
4	130,00	145,00	15,00	PALEOZOICO	ROCCHE CARBONATICHE																																		

Dati generali		Ubicazione indicativa dell'area d'indagine																																					
Codice: 194581 Regione: SARDEGNA Provincia: CAGLIARI Comune: UTA Tipologia: PERFORAZIONE Opera: POZZO PER ACQUA Profondità (m): 169,00 Quota pc sim (m): 95,00 Anno realizzazione: 2003 Numero diametri: 2 Presenza acqua: SI Portata massima (l/s): 5,000 Portata esercizio (l/s): 3,000 Numero falde: 1 Numero filtri: 1 Numero piezometrie: 1 Stratigrafia: SI Certificazione(*): SI Numero strati: 4 Longitudine WGS84 (dd): 8,903458 Latitudine WGS84 (dd): 39,234000 Longitudine WGS84 (dms): 8° 54' 12,45" E Latitudine WGS84 (dms): 39° 14' 02,41" N (*)Indica la presenza di un professionista nella compilazione della stratigrafia																																							
<table border="1"> <thead> <tr> <th colspan="4">DIAMETRI PERFORAZIONE</th> </tr> <tr> <th>Progr</th> <th>Da profondità (m)</th> <th>A profondità (m)</th> <th>Diametro (mm)</th> </tr> </thead> <tbody> <tr> <td>1</td> <td>0,00</td> <td>35,00</td> <td>350</td> </tr> <tr> <td>2</td> <td>35,00</td> <td>169,00</td> <td>250</td> </tr> </tbody> </table>				DIAMETRI PERFORAZIONE				Progr	Da profondità (m)	A profondità (m)	Diametro (mm)	1	0,00	35,00	350	2	35,00	169,00	250																				
DIAMETRI PERFORAZIONE																																							
Progr	Da profondità (m)	A profondità (m)	Diametro (mm)																																				
1	0,00	35,00	350																																				
2	35,00	169,00	250																																				
<table border="1"> <thead> <tr> <th colspan="3">FALDE ACQUIFERE</th> </tr> <tr> <th>Progr</th> <th>Da profondità (m)</th> <th>Lunghezza (m)</th> </tr> </thead> <tbody> <tr> <td>1</td> <td>160,00</td> <td>5,00</td> </tr> </tbody> </table>				FALDE ACQUIFERE			Progr	Da profondità (m)	Lunghezza (m)	1	160,00	5,00																											
FALDE ACQUIFERE																																							
Progr	Da profondità (m)	Lunghezza (m)																																					
1	160,00	5,00																																					
<table border="1"> <thead> <tr> <th colspan="4">POSIZIONE FILTRI</th> </tr> <tr> <th>Progr</th> <th>Da profondità (m)</th> <th>A profondità (m)</th> <th>Diametro (mm)</th> </tr> </thead> <tbody> <tr> <td>1</td> <td>157,00</td> <td>169,00</td> <td>200</td> </tr> </tbody> </table>				POSIZIONE FILTRI				Progr	Da profondità (m)	A profondità (m)	Diametro (mm)	1	157,00	169,00	200																								
POSIZIONE FILTRI																																							
Progr	Da profondità (m)	A profondità (m)	Diametro (mm)																																				
1	157,00	169,00	200																																				
<table border="1"> <thead> <tr> <th colspan="5">MISURE PIEZOMETRICHE</th> </tr> <tr> <th>Data rilevamento</th> <th>Livello statico (m)</th> <th>Livello dinamico (m)</th> <th>Abbassamento (m)</th> <th>Portata (l/s)</th> </tr> </thead> <tbody> <tr> <td>feb/2003</td> <td>35,00</td> <td>50,00</td> <td>15,00</td> <td>3,000</td> </tr> </tbody> </table>				MISURE PIEZOMETRICHE					Data rilevamento	Livello statico (m)	Livello dinamico (m)	Abbassamento (m)	Portata (l/s)	feb/2003	35,00	50,00	15,00	3,000																					
MISURE PIEZOMETRICHE																																							
Data rilevamento	Livello statico (m)	Livello dinamico (m)	Abbassamento (m)	Portata (l/s)																																			
feb/2003	35,00	50,00	15,00	3,000																																			
<table border="1"> <thead> <tr> <th colspan="6">STRATIGRAFIA</th> </tr> <tr> <th>Da Progr</th> <th>Da profondità (m)</th> <th>A profondità (m)</th> <th>Spessore (m)</th> <th>Età geologica</th> <th>Descrizione litologica</th> </tr> </thead> <tbody> <tr> <td>1</td> <td>0,00</td> <td>0,50</td> <td>0,50</td> <td></td> <td>SUOLO VEGETALE</td> </tr> <tr> <td>2</td> <td>0,50</td> <td>35,00</td> <td>34,50</td> <td>PLEISTOCENE</td> <td>CONGLOMERATO ARGILLOSO MARRONE ANDESITE ROSSA E ROSSO VINACEA LOCALMENTE FRATTURATA E ARGILLIFICATA</td> </tr> <tr> <td>3</td> <td>35,00</td> <td>160,00</td> <td>125,00</td> <td>OLIGOCENE SUPERIORE</td> <td>GRANITICA</td> </tr> <tr> <td>4</td> <td>160,00</td> <td>169,00</td> <td>9,00</td> <td>CARBONIFERO</td> <td>FRATTURATO AL TETTO</td> </tr> </tbody> </table>				STRATIGRAFIA						Da Progr	Da profondità (m)	A profondità (m)	Spessore (m)	Età geologica	Descrizione litologica	1	0,00	0,50	0,50		SUOLO VEGETALE	2	0,50	35,00	34,50	PLEISTOCENE	CONGLOMERATO ARGILLOSO MARRONE ANDESITE ROSSA E ROSSO VINACEA LOCALMENTE FRATTURATA E ARGILLIFICATA	3	35,00	160,00	125,00	OLIGOCENE SUPERIORE	GRANITICA	4	160,00	169,00	9,00	CARBONIFERO	FRATTURATO AL TETTO
STRATIGRAFIA																																							
Da Progr	Da profondità (m)	A profondità (m)	Spessore (m)	Età geologica	Descrizione litologica																																		
1	0,00	0,50	0,50		SUOLO VEGETALE																																		
2	0,50	35,00	34,50	PLEISTOCENE	CONGLOMERATO ARGILLOSO MARRONE ANDESITE ROSSA E ROSSO VINACEA LOCALMENTE FRATTURATA E ARGILLIFICATA																																		
3	35,00	160,00	125,00	OLIGOCENE SUPERIORE	GRANITICA																																		
4	160,00	169,00	9,00	CARBONIFERO	FRATTURATO AL TETTO																																		

Figura 19 Monografie pozzi esistenti (Fonte Archivio Nazionale sulle indagini nel sottosuolo)

## 9.2. DISSESTI IN ATTO O POTENZIALI CHE POSSONO INTERFERIRE CON L'OPERA E LORO TENDENZA EVOLUTIVA

La predisposizione naturale di un territorio a fenomeni di instabilità legata alle dinamiche geomorfologiche deriva in generale dall'interazione di diversi fattori come natura geologica dei terreni, loro assetto sia deposizionale che geostrutturale, circolazione delle acque superficiali e sotterranee con la morfologia cioè la geometria del territorio.

L'area oggetto di intervento, in base delle caratteristiche suddette non presenta allo stato attuale evidenze di dissesto di natura geologico-geomorfologica in atto o potenziale escludendo la naturale evoluzione del pendio.

## 10. INQUADRAMENTO PEDOLOGICO

Le tipologie di suolo sono legate per genesi alle caratteristiche delle formazioni geo-litologiche presenti e all'assetto idraulico di superficie nonché ai diversi aspetti morfologici, climatici e vegetazionali.

Poiché la litologia del substrato o della roccia madre ha una importanza fondamentale quale fattore nella pedogenesi dei suoli, le unità principali sono state delimitate in funzione delle formazioni geologiche prevalenti, e successivamente all'interno di esse sono state individuate unità, distinte dalla morfologia del rilievo, dall'acclività e dall'uso del suolo prevalente

Le peculiarità pedologiche dell'area vasta di Uta risiedono prevalentemente nella presenza di suoli profondi ad evoluzione molto spinta e subordinatamente, in suoli debolmente sviluppati o di origine recente, con una scarsa differenziazione degli orizzonti. Questi ultimi, appartenenti alle fasi tardive del Pleistocene ed all'Olocene, si trovano per lo più localizzati in corrispondenza delle aree peristagnali e perlagunari e nei pressi dei corsi d'acqua, laddove la continua deposizione e rimaneggiamento dei sedimenti non favoriscono l'assimilazione degli stessi ad un orizzonte pedogenetico.

L'area di progetto su cui verranno installati i pannelli ricade nei paesaggi su

- **“Alluvioni e su arenarie eoliche cementate del Pleistocene.”** con *Profili A-Bt-C, A-Btg-Cg e subordinatamente A-C, profondi, da FS a FSA in superficie, da FSA ad A in profondità, da permeabili a poco permeabili, da subacidi ad acidi, da saturi a desaturati.*; cui sono associati suoli dell'unità **I1** della Carta dei Suoli della Sardegna.

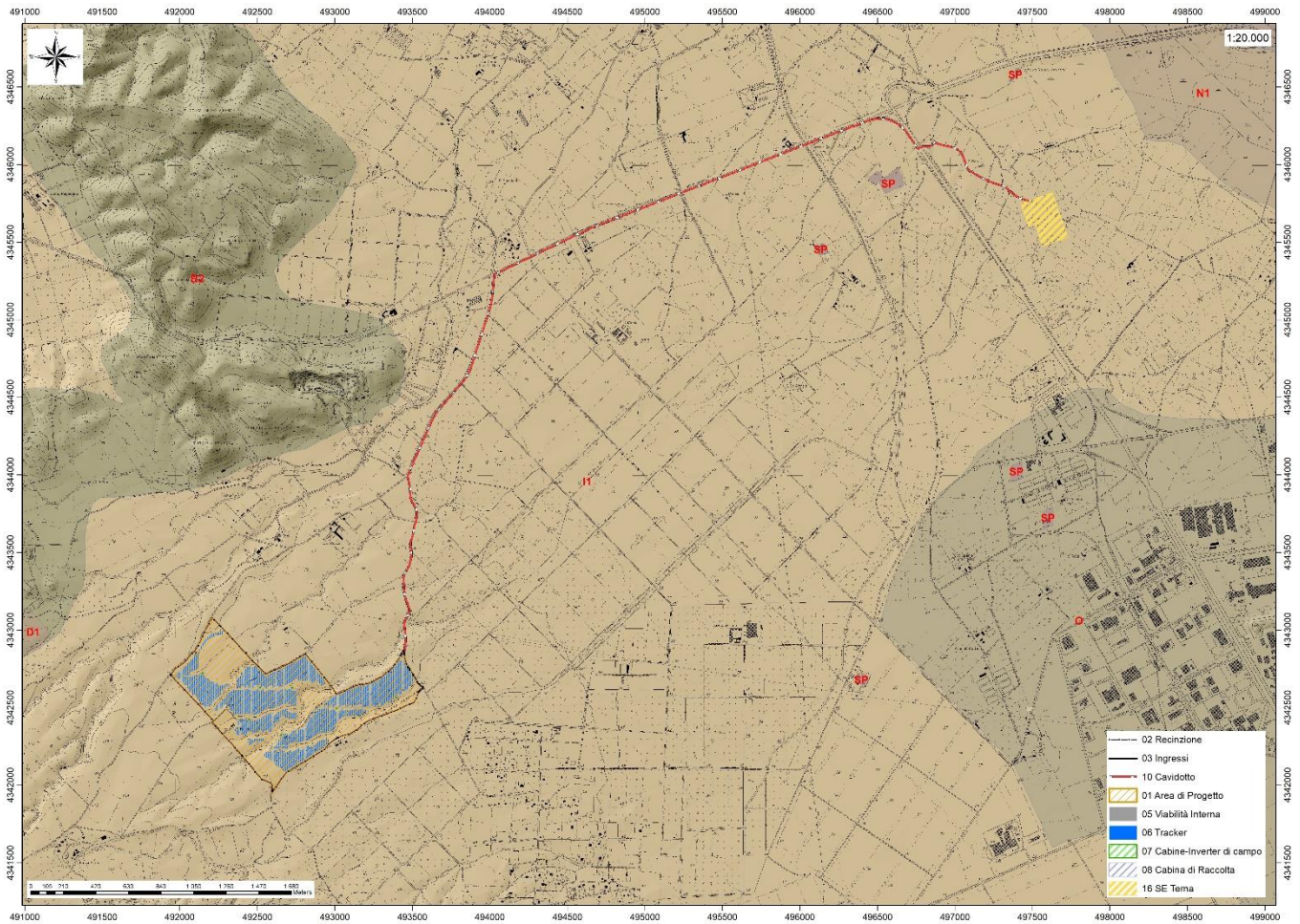


Figura 20 Stralcio della Carta dei Suoli della Sardegna (Fonte RAS)

## 11.FATTIBILITA' IDROGEOLOGICA

A seguito di un'attenta analisi delle caratteristiche geologiche, geomorfologiche e idrogeologiche dell'area significativa al progetto affrontate nei paragrafi precedenti, viene resa una serie di considerazioni riguardanti l'interazione dell'opera con le dinamiche idrogeologiche.

L'eventuale presenza di una porzione argillosa costituente l'orizzonte superficiale nelle coltri colluviali e nelle litologie pleistoceniche (locali livelli argillosi), potrebbe localmente limitare il drenaggio delle acque. La presenza di isolate depressioni può favorire l'accumulo momentaneo di acque piovane durante gli eventi piovosi più intensi. Si suggerisce un'opportuna regimazione delle acque superficiali, sia in fase di realizzazione delle opere che in fase di esercizio, al fine di garantire il naturale deflusso delle acque anche durante le fasi di realizzazione delle opere.

La profondità di imposta degli elementi di ancoraggio dei pannelli al suolo è tale da non interferire con la dinamica di circolazione sotterranea più superficiale.

**Dott.ssa Geol. Cosima Atzori**

ORDINE DEI GEOLOGI DELLA SARDEGNA - Sezione A n°656